

# 字符识别

顾秀烨

## Table of Contents

<b>1. 概述.....</b>	<b>1</b>
<b>1.1 分类器.....</b>	<b>1</b>
1.1.1 统计、混合分类器 .....	1
1.1.2 神经网络 .....	3
<b>1.2 模式、模板匹配方法.....</b>	<b>3</b>
<b>1.3 后期处理.....</b>	<b>4</b>
<b>2. 一些系统的具体实现方案.....</b>	<b>4</b>
<b>2.1 Real-Time License Plate Recognition on an Embedded DSP-Platform .....</b>	<b>4</b>
2.1.1 One Vs All.....	5
2.1.2 Tree-like structure .....	5
<b>2.2 Automatic License Plate Recognition .....</b>	<b>5</b>
<b>参考文献.....</b>	<b>10</b>

## 1. 概述

目前，用于车牌字符识别的主要方法有两大类：分类器方法与模式、模板匹配方法。许多车牌识别系统中，会有 Post processing 的步骤，目的是提高识别的准确率。

### 1.1 分类器

#### 1.1.1 统计、混合分类器

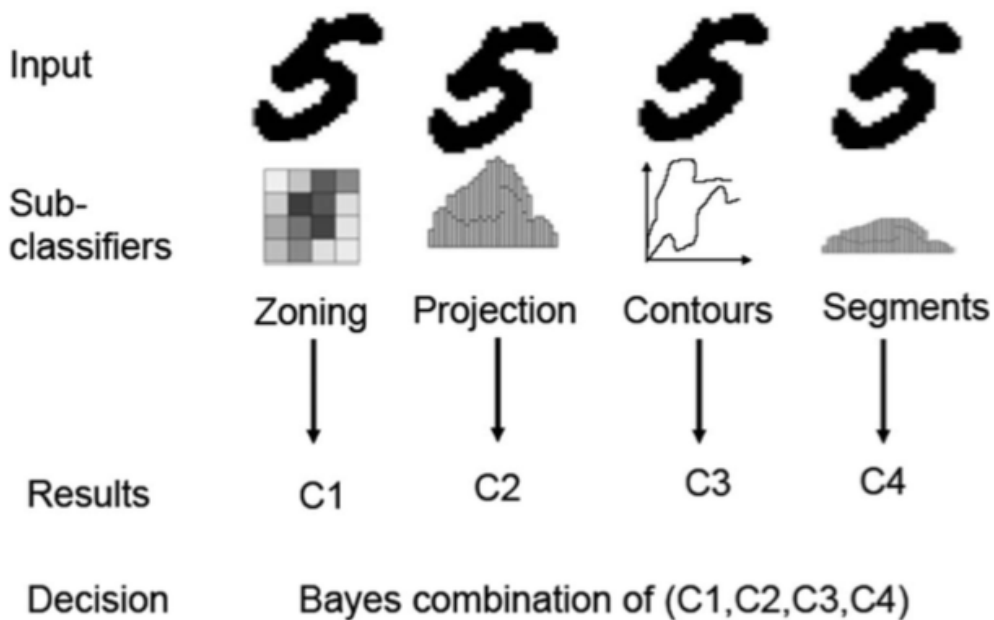
(1) 隐式马尔科夫链：需要很复杂的预处理与参数化过程才能达到 95.7% 的准确率。从前人的实验结果可以发现，HMM 方法要达到较好的结果需要做很细致的字符分析，所以将 HMM 用于车牌检测系统有一定局限性。

(2) SVM：目前，有许多车牌检测识别系统使用 SVM 方法。其中，【2】使用了 4 个基于 SVM 的字符识别器，以识别大写字母、大写数字、小写字母、小写数字（韩国车牌）。

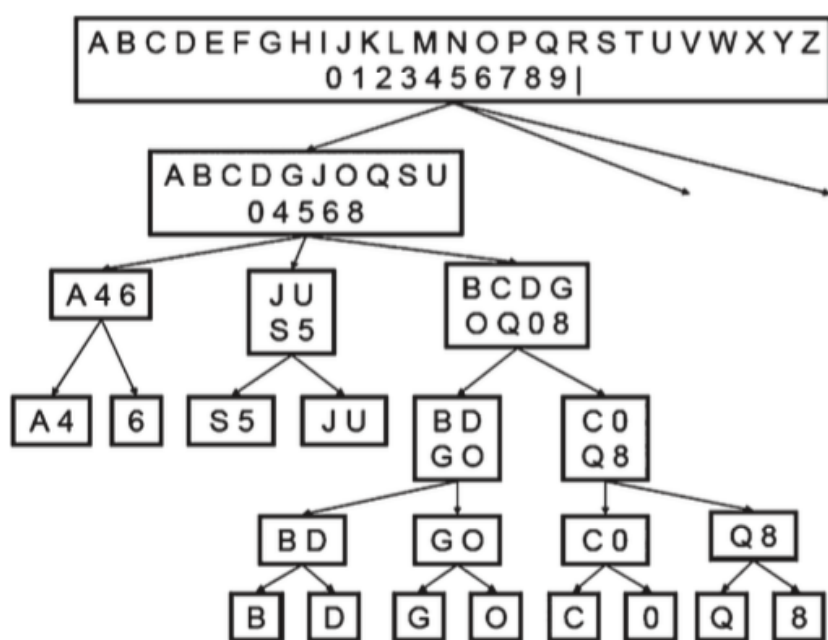
(3) 许多研究者融合了两种分类方案，或者使用多阶段的分类方案，或者将多种分类器平行地组合起来。

例如，【3】中提出的将统计与结构识别方法组合起来的两阶段杂交识别系统，以提高鲁棒性并且获得更好的识别表现。在第一阶段，4 个统计到的子分类器（SC1, SC2,

SC3, SC4) 独立地识别输入字符。并且, 识别结果与贝叶斯方法组合起来。SC1 使用了 zoning density, SC2 使用了垂直投影, SC3 计算轮廓, SC4 计数每一行与每一列的线段数目 (如下图)。然后, 如果第一阶段的输出结果与预先指定的字符集相似, 那么第二阶段 (结构化方法) 将作为第一阶段的辅助, 获得更精确的分类结果。这一方法在超过 10000 张车牌的巨大测试集中获得了 95.41% 的成功率。



(4) 逐步细化的分类方法也是一种非常有效的方法, 尤其是在要分成许多类, 或者要系统地挖掘不同类别间的相似特性、挖掘层次化结构时。典型地逐步细化的分类方法如下图所示:



在【4】中，统一大后的字符图片被划分为互不重叠的  $5 \times 5$  的块，处理这些块获得边缘特性，根据这些特性使用逐步细化的分类方法进行分类。每对相似的字符被给予了更大的重视。在 520 张车牌中，单个字符识别率达到 99%。

### 1.1.2 神经网络

多层前向神经网络被广泛地用在车牌字符识别中。典型的训练方法是 BP 算法。其中，循环训练的次数、隐藏层的层数、隐藏层上的神经元个数，一般需要通过试错法来确定。

例如，在 easyPR 中，就使用了 ANN 做字符识别，但是开发者没有详述。

在【5】中，输入神经元为使用 DTCNN 生成的 24 个特征。并且，只有当某个输出神经元的置信水平超过 0.85、其他所有输出神经元的置信水平低于 0.25 时，输入字符才被识别为对应字符。

在这些神经网络方法中，相似字符对的识别、边框部分的识别被予以重视。在训练过程中，难以识别的样本会被训练更多次，在上图（逐步细化的分类方法）中，我们看到边框被作为特殊字符“|”处理。经过这些特殊处理，正确率提升到了 98.2%。

【7】实现了一个基于 ART 理论的非标准神经网络，ART 是一种非监督学习的技术，隐藏层中神经元的个数是动态的，而且保证了学习会收敛。

【8】使用了 self-organized neural networks 来处理噪音、畸形、破损、不完整对车牌字符识别所带来的影响。该方法专注于准确性而增加了计算复杂度和处理时间。使用 1061 张不同视角下的车牌测试集进行测试，准确率为 95.6%。为了克服相似字符对引起的误分类问题，作者预先定义了一个包含所有相似字符对的集合，一旦某未知字符被分类为该集合中的字符，需要进行额外的比较，该比较仅比较相似字符对中不相似的部分。（该方法比较系统完整，在第二节中会详述）

PNN（概率神经网络）也被用于车牌识别系统。PNN 训练起来更快速一些，因为隐藏层神经元只需训练一次，隐藏层的神经元个数由 training patterns 所决定。在【9】的 LPR 系统中，作者使用了两个 PNN，分别用于字母与数字识别。

## 1.2 模式、模板匹配方法

单一字体、固定大小、没有旋转的字符非常适合使用模式匹配技术。尽管这项技术被更多地用在二值图像中，合适的模板在灰度图像中也会取得很好的结果。

【10】成功使用了模板匹配，通过计算模板  $g$  在子图  $f$  上平移产生的 root-mean-square error，进行识别。

在许多系统中，将模板匹配技术与其他方法结合到了一起。

【11】【12】使用了 Hausdorff 距离：

Hausdorff 距离是描述两组点集之间相似程度的一种量度，它是两个点集之间距离的一种定义形式：假设有两组集合  $A=\{a_1, \dots, a_p\}$ ,  $B=\{b_1, \dots, b_q\}$ , 则这两个点集合之间的 Hausdorff 距离定义为  $H(A,B)=\max(h(A,B),h(B,A))$

其中，

$$h(A,B)=\max_{a \in A} \min_{b \in B} \|a-b\|$$

$$h(B,A)=\max_{b \in B} \min_{a \in A} \|b-a\|$$

$\|\cdot\|$  是点集  $A$  和  $B$  点集间的距离范式（如：L2 或 Euclidean 距离）。

Hausdorff 距离是衡量两张二值化图片之间的差异的一种方法。这种方法拥有矩阵的所有数学属性。其识别率与使用神经网络分类器获得的识别率非常相似，但较神经网络稍慢一些。该方法可以作为识别方法的一种辅助手段，如果实时性的要求不是那么强烈的话。

### 1.3 后期处理

【8】中字符识别的最后一个步骤（预先定义的相似字符集），可以看做是一种后期处理。

另外，openALPR 系统中，也使用了 Post processing 以提高准确率。OCR 识别结果是一系列可能的字符串及其置信度。该系统会衡量低置信率的字符为空白的字符的可能性（低置信率可能不是车牌的一部分）。另外，该系统也会遵循当地车牌的规则，来决定最有可能的车牌字符。例如，被告知是密苏里州的车牌 ([char][char][number]-[char][number][char])，置信率最高的三个字符串如下：

- . CFOCIG
- . CF0CIG
- . CF0C1G

根据密苏里州的车牌规则，选择了第三个字符串。

## 2. 一些系统的具体实现方案

### 2.1 Real-Time License Plate Recognition on an Embedded DSP-Platform

该论文使用了 RBF 核的支持向量机，核函数：

$$K(x_i, x_j) = e^{-\gamma \|x_i - y_j\|^2} \quad \gamma > 0.$$

其中，gamma 通过 n-折交叉验证在参数空间上搜索得到。

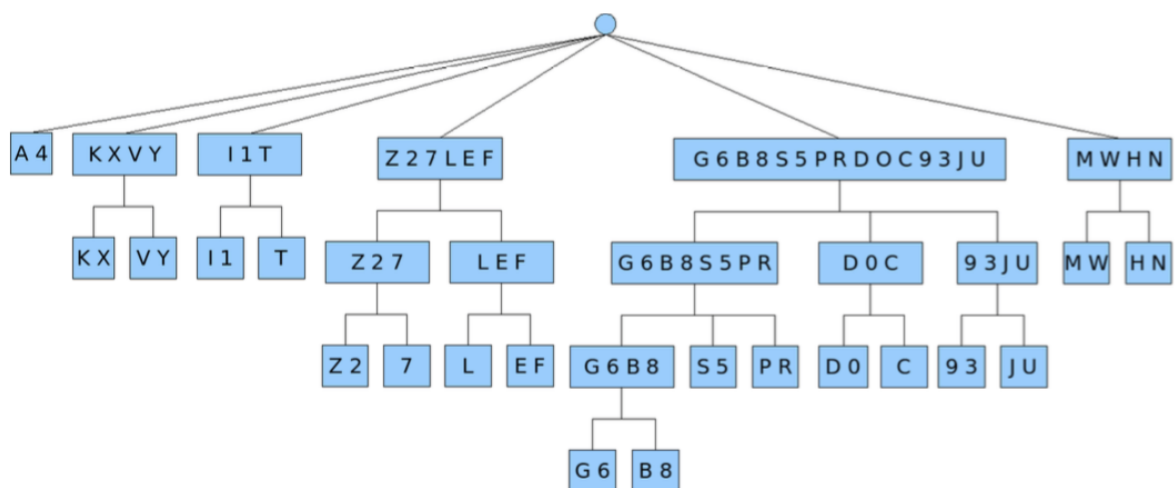
所有分割后的字符区域被缩放到一致的大小。直接使用像素值作为特征向量。作者使用了两种将 SVM 作用域区分多个类别的算法。

### 2.1.1 One Vs All

假设共有 k 个类别，则训练 k 个二分类的 SVM，只有当训练字符属于当前类别时，标记为正，其余均标记为负。这样，一共 k 个判别函数。选择使得判别函数值最大的判别函数所对应的那一类。

### 2.1.2 Tree-like structure

类似 1.1.1 中 (4) coarse-to-fine 方法。



## 2.2 Automatic License Plate Recognition

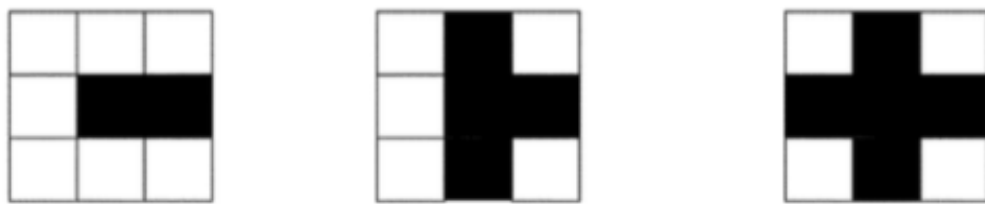
这篇论文针对畸形的、破损的、不完整的、有噪音的输入字符，给出了一套可以容忍这些缺陷的字符识别方案。该方案主要由三个步骤组成：字符分类、拓扑分类、self-organizing 识别（SO）。

### (1) 字符分类

根据车牌字符组成的语义，将字符分为字母与数字。

### (2) 拓扑分类

在这篇文章中使用的拓扑特征有：字符上洞的个数、end-point、three-way node、four-way node。如下图所示：



Nodal types: (a) end-point, (b) three-way node, and (c) four-way node.

这些特征具有旋转、移动、缩放不变性，而且是定性的，比较容易检测到。以下规则被用于拓扑分类：

一个字符模板与输入字符是相容的，当他们满足以下两个条件：

- 1) 他们的洞的个数之差在[-1, 1]范围内。
- 2) 他们的 end-point、three-way node、four-way node 的个数之差在[-2, 2]范围内。

允许一定的偏差是因为，输入字符可能受到了破坏或是不完整的。

在实验中，拓扑分类的速度很快，可以缩短字符识别所需的时间。

### (3) self-organizing (SO) 识别

核心思想是：给定一个未知字符与一个字符模板，使用神经网络中的权重来编码输入字符，字符模板作为一个刺激源，不断地刺激这个神经网络，导致神经网络的权重不断地变化，直到权重逐渐稳定（SO 层形态特征变得跟字符模板比较相似）。将权重的所有变化相加，用于衡量未知字符与字符模板之间的差异。最后将未知字符归入差异最小的那一类。SO 模型如下图所示：

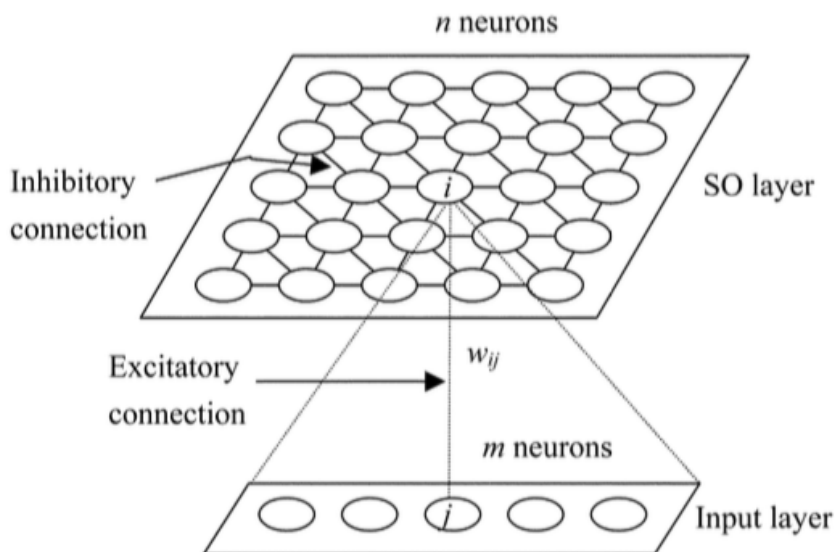


Fig. 5. Kohonen SO neural model.

具体实现：

1) 首先，将字符分为 3 类——0-hole, 1-hole, 2-hole，根据字符中的洞的个数。每一类都有它自己的 SO 神经网络，他们的 SO 层的布局有些不同，如下图所示。每个 SO 神经网络由 40 个 SO 神经元与两个输入神经元组成。

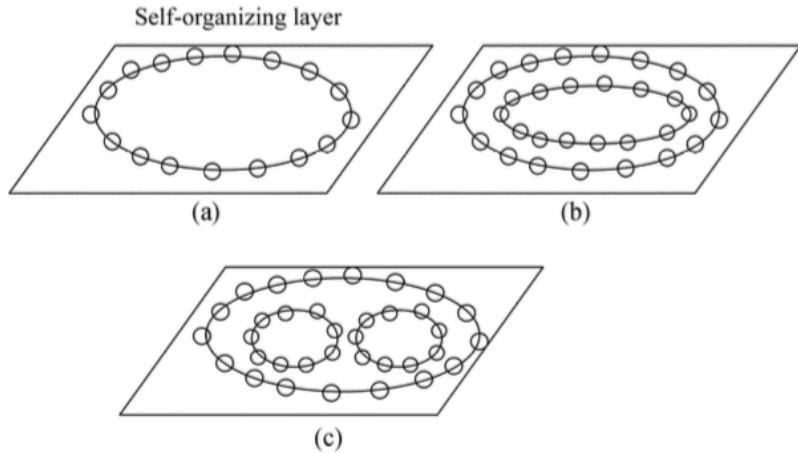


Fig. 6. SO layers: (a) 0-hole, (b) 1-hole, and (c) 2-hole SO layers.

2) 输入字符，假设输入的未知字符为“C”，所有的字符都缩放到 16\*16 pixels 的大小，与字符模板大小一致。

3) 提取未知字符的轮廓，从任意一点开始，将轮廓分成 40 段等间距的小段。提取由 40 个小段的边界点的横纵坐标组成的二维坐标向量。

4) 将这 40 个二维坐标向量赋值给 40 个 SO 神经元，作为他们的权重向量。这样以后，以权重向量的两个分量作为坐标轴构成的二维权重空间上，每个 SO 神经元都可以表示为这个空间中的一个点，如下图所示：

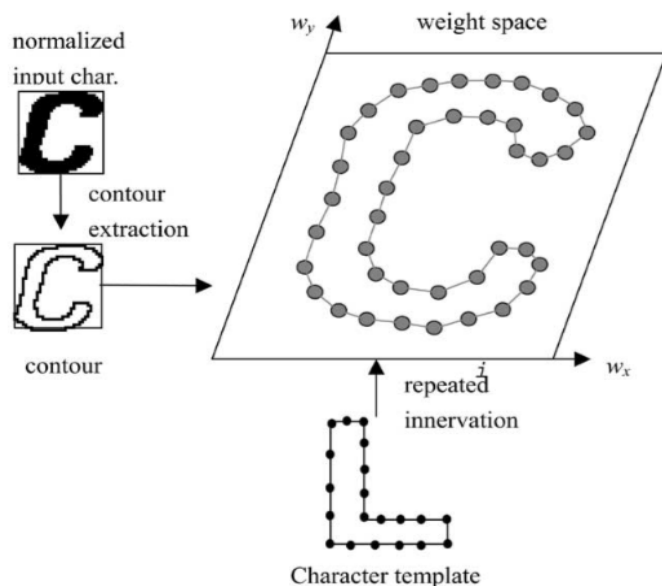


Fig. 7. Example of SO character recognition.

5) 选择一个字符模板，假设为“L”，提取字符模板的轮廓，预先在字符模板的轮廓上等间距分段，取分段的端点。轮廓上的点作为刺激源，被一个一个地输入到神经网络中。

假设一个输入的轮廓刺激点为  $v$ ，SO 层的神经元为这个刺激物竞争，假设胜利的神经元为  $n_c$ ，由公式  $n_c = \arg(\max_{1 \leq i \leq 40} \{w_i \cdot v\})$  所决定。其中， $w_i$  为 40 个 SO 神经元的权重向量。

6)  $n_c$  与它最近的两个邻居组成集合  $N_c$ ，参与接下来的学习过程（更新集合  $N_c$  中 SO 神经元的权重）：

$$\Delta w_k = d_k g(r_k - r_c), \quad k \in N_c.$$

$d_k$  为  $(v - w_k)$ ，我们使用弹簧模型计算  $d_k$ ，假设 SO 神经元由弹簧相连接。弹簧的弹性系数  $u_{k-1,k}$ ,  $u_{k,k+1}$  由神经元之间的权重模拟。弹簧模型如下图所示：

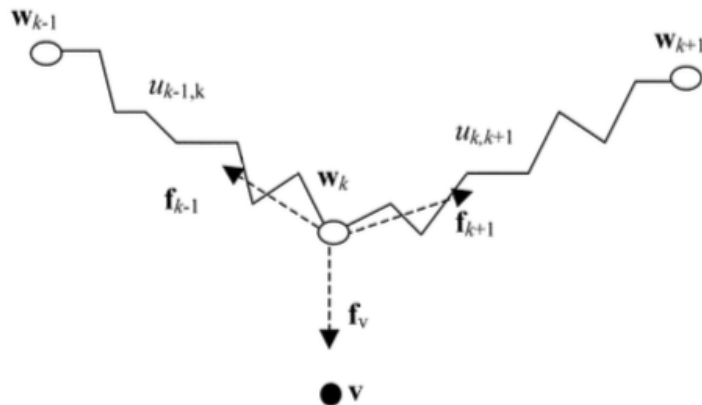


Fig. 8. Spring model.

$v$  为输入的点刺激源。在弹簧模型中， $v$  作为一个吸引源。学习过程相当于  $v$  用大小为  $f_v$  的力将  $w_k$  拉向自己。此时，两段弹簧也对  $w_k$  作用拉力  $f_{k-1}, f_{k+1}$ 。另外，还有一个阻力  $f_d$ （没有画在图上），用来分散弹簧模型中的能量，使得最后在外力  $f_e$  的作用下整个系统能够收敛到一个平衡态。

整个力学模型的公式为：

$$\mathbf{f}_v + \mathbf{f}_{k-1} + \mathbf{f}_{k+1} + \mathbf{f}_d = \mathbf{f}_e \quad (15)$$

where

$$\begin{aligned}\mathbf{f}_v &= \frac{k_a}{(\|\mathbf{v} - \mathbf{w}_k\| + \varepsilon)^2} \frac{\mathbf{v} - \mathbf{w}_k}{\|\mathbf{v} - \mathbf{w}_k\|} \\ \mathbf{f}_{k-1} &= u_{k-1,k} (\|\mathbf{w}_{k-1} - \mathbf{w}_k\| - l) \frac{\mathbf{w}_{k-1} - \mathbf{w}_k}{\|\mathbf{w}_{k-1} - \mathbf{w}_k\|} \\ \mathbf{f}_{k+1} &= u_{k,k+1} (\|\mathbf{w}_k - \mathbf{w}_{k+1}\| - l) \frac{\mathbf{w}_k - \mathbf{w}_{k+1}}{\|\mathbf{w}_k - \mathbf{w}_{k+1}\|} \\ \mathbf{f}_d &= -k_d \|\mathbf{f}_v + \mathbf{f}_{k-1} + \mathbf{f}_{k+1}\|^{1/2} \frac{\mathbf{f}_v + \mathbf{f}_{k-1} + \mathbf{f}_{k+1}}{\|\mathbf{f}_v + \mathbf{f}_{k-1} + \mathbf{f}_{k+1}\|} \quad (16)\end{aligned}$$

其中， $k_a$  为引力系数， $k_d$  为阻力系数。Epsilon 为一个很小的常量，以免在  $\mathbf{w}_k$  接近  $\mathbf{v}$  时  $\mathbf{f}_v$  趋于无穷大。

$\mathbf{d}_k$  可以使用距离公式计算：

$$\begin{aligned}\mathbf{d}_k &= \mathbf{v}_{0k} + \frac{f_e}{m} \Delta t^2. \\ d_k &= v_{0k} \Delta t + \frac{f_e}{2m} \Delta t^2 \quad (\text{私以为这里的 } \mathbf{d}_k \text{ 应该等于 } d_k)\end{aligned}$$

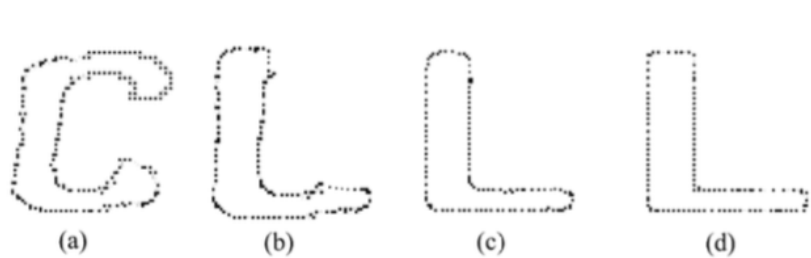
为了简洁性，假设神经元  $n_k$  的初速度  $v_{0k}$  等于 0，神经元的质量  $m$  等于 1，时间间隔也为 1。那么，结果为：

$$\mathbf{d}_k = \mathbf{f}_e = \mathbf{f}_v + \mathbf{f}_{k-1} + \mathbf{f}_{k+1} + \mathbf{f}_d.$$

另外，学习结果需要被学习程度  $g(r_k - r_c)$ （学习率受高斯函数  $g$  的影响）与学习步长  $\rho(t)$  所修改。所以，神经元  $n_k$  的权重的最终的改变量为：

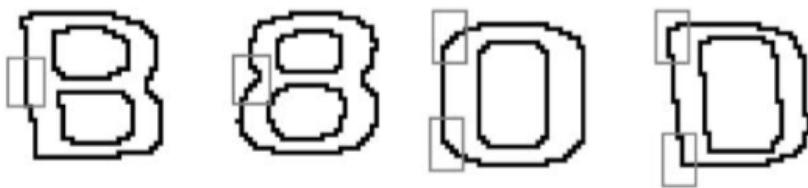
$$\rho(t) \mathbf{d}_k g(r_k - r_c).$$

$N_c$  中的所有神经元都要经历上述学习过程，权重发生改变，这样以后，点刺激源  $\mathbf{v}$  带来的刺激完成了。对于输入的刺激模板上的灭、每一个点刺激源，在这个例子中是字母“L”轮廓上的点，重复上述过程，则完成了这个模板的一轮循环。重复循环直到 SO 神经元的权重不再有显著的改变。SO 神经元的总的权重位移作为未知字符与字符模板之间的差异。下图展示了未知字符“C”在字符模板“L”的刺激性下，SO 层从“C”的轮廓变形为“L”的一些中间状态：



#### (4) 后期处理

上述过程在识别字符对 (8, B) 和 (O, D) 时会有困难，尤其是字符变形时。作者预先定义了一个模糊集合，包含了字符 0, 8, B, D。对于集合中的每一个字符，指定了相似字符对之间存在差异的部分，如下图所示：



在字符识别过程中，一旦某未知字符被归类到了模糊集合中的某个字符，需要进行一次额外的小比较，仅比较预先定义好的相似字符之间有差异的部分，以提高识别的准确率。

## 参考文献

- 【1】 Christos-Nikolaos E. Anagnostopoulos, Ioannis E. Anagnostopoulos, Ioannis D. Psoroulas, Vassili Loumos, and Eleftherios Kayafas. License Plate Recognition From Still Images and Video Sequences: A Survey
- 【2】 K. K. Kim, K. I. Kim, J. B. Kim, and H. J. Kim, “Learning-based approach, for license plate recognition,” in *Proc. IEEE Signal Process. Soc. Workshop, NNs Signal Process.*, 2000, vol. 2, pp. 614–623.
- 【3】 X. Pan, X. Ye, and S. Zhang, “A hybrid method for robust car plate character recognition,” *Eng. Appl. Artif. Intell.*, vol. 18, no. 8, pp. 963– 972, Dec. 2005.
- 【4】 Y. Amit, D. Geman, and X. Fan, “A coarse-to-fine strategy for multi- class shape detection,” *IEEE Trans. Pattern Anal. Mach. Intell.*, vol. 26, no. 12, pp. 1606–1621, Dec. 2004.
- 【5】 J. A. G. Nijhuis, M. H. ter Brugge, K. A. Helmholt, J. P. W. Pluim, L. Spaanenburg, R. S. Venema, and M. A. Westenberg, “Car license plate recognition with neural networks and fuzzy logic,” in *Proc. IEEE Int. Conf. Neural Netw.*, 1995, vol. 5, pp. 2232–2236.
- 【6】 S. Grossberg, “Competitive learning: From interactive activation to adaptive resonance,” *Cogn. Sci.*, vol. 11, no. 1, pp. 23–63, Jan./ Mar. 1987.
- 【7】 K. B. Kim, S. W. Jang, and C. K. Kim, “Recognition of car license plate by using dynamical thresholding method and enhanced neural networks,” in *Computer Analysis of Images and Patterns*, vol. 2756, N. Petkov and M. A. Westenberg, Eds. New York: Springer-Verlag, 2003, pp. 309–319.

- 【8】 S.-L. Chang, L.-S. Chen, Y.-C. Chung, and S.-W. Chen, “Automatic license plate recognition,” *IEEE Trans. Intell. Transp. Syst.*, vol. 5, no. 1, pp. 42–53, Mar. 2004.
- 【9】 C. Anagnostopoulos, E. Kayafas, and V. Loumos, “Digital image processing and neural networks for vehicle license plate identification,” *J. Electr. Eng.*, vol. 1, no. 2, pp. 2–7, 2000. [Online]. Available: <http://www.medialab.ntua.gr/people/canag/journals.php>
- 【10】 Y.-P. Huang, S.-Y. Lai, and W.-P. Chuang, “A template-based model for license plate recognition,” in *Proc. IEEE Int. Conf. Netw., Sens. Control*, 2004, pp. 737–742.
- 【11】 D. P. Huttenlocher, G. A. Klanderman, and W. J. Rucklidge, “Comparing images using the Hausdorff distance,” *IEEE Trans. Pattern Anal. Mach. Intell.*, vol. 15, no. 9, pp. 850–863, Sep. 1993.
- 【12】 J. Rucklidge, “Efficiently locating objects using the Hausdorff distance,” *Int. J. Comput. Vis.*, vol. 24, no. 3, pp. 251–270, Sep./Oct. 1997.
- 【13】 Clemens Arth, Florian Limberger, Horst Bischof, “Real-Time License Plate Recognition on an Embedded DSP-Platform”.